

東京大学工学部

○前田正史 名井肇

佐野信雄 松下幸雄

結論: フェロクロム滓には、高炭フェロクロム滓で約7%，低炭フェロクロム滓で約4%のクロムが含まれている。本研究では省資源を急頭に、スラグとFe-Cr-Csatu合金とのクロムの分配平衡実験並びに、実際のスラグと溶銑を用いて、ロッキング炉による回収実験を行った。

平衡実験: 前報ではスラグ-合金間のSiの移動の影響を無視したが、今回それを考慮に入れて実験を行った。Fig 1に、1500°C, CO 1atm, 黒鉛ルツボ内で $\text{Cr}/(\text{Cr}+\text{Fe})=0.425$ (この温度で $(\text{FeCr})_7\text{C}_3$ との平衡組成) の合金と $\text{CaO/SiO}_2=0.61, \text{Al}_2\text{O}_3=10\%$ のスラグを反応させた結果を示す。2時間程度で (Cr) にピークが現れる。このとき $\text{[Cr]} + \text{CO} \rightleftharpoons \text{C} + (\text{CrO})$ (1) の反応とともに $(\text{SiO}_2) + 2\text{C} \rightarrow [\text{Si}] + 2\text{CO}$ (2) の反応も同時に進行している。この現象を説明するために (1)(2) の合成反応である $(\text{SiO}_2) + 2[\text{Cr}] \rightleftharpoons [\text{Si}] + 2(\text{CrO})$ (3) の平衡定数 K について考える。 $K = K'' = [\text{Si}]^{\frac{1}{2}} \cdot (\text{Cr})^{\frac{1}{2}}$ となる。Fig 1 に示すように、2時間以後では K'' は一定となり (3) の平衡が成立している。従って、(1) の右向きの反応は初期に急速に進む一方、(2) の反応がピークの出現する2時間以後も依然として進行し、[Si] の上昇に伴ない上記 $K'' = \text{一定}$ の関係を満足するために (1) の反応は左向きに逆行する。このスラグは粘性、平衡クロム濃度ともに最も高いものであり、平衡到達時間が最も長いと思われる。従って、本実験では全て3時間 1500°C, CO 1atm 黒鉛ルツボ内で $\text{Cr}/(\text{Cr}+\text{Fe})=0.425$ の合金と反応させ、実験終了後の全組成を分析し、その組成における Cr 平衡値とした。

$\text{CaO-Al}_2\text{O}_3-\text{SiO}_2$ 系の結果を Fig 2 に示す。実線は等 Cr 濃度線である。 CaO/SiO_2 が下がるにつれ (Cr) も減少し、 CaO/SiO_2 が低い領域では Al_2O_3 の添加とともに (Cr) が減少していることがわかる。 $\text{CaO-MgO-Al}_2\text{O}_3-\text{SiO}_2$ 系では、スピネル相や初晶となる組成で (Cr) のピークの存在を確認した。

回収実験: 電解鉄より作成した炭素飽和鉄4kgと現場のスラグ(35%CaO, 19.3%MgO, 13.2%Al₂O₃, 31.5%SiO₂, 2.2%Cr) 1kgを1500°C~1600°Cで反応させた。ロッキング炉は黒鉛ライニングされ、合金は常に炭素飽和である。ロッキングサイクル(R_c) は 0~36c/min の間で変化させた。Fig 3 に 1600°Cにおける R_c の影響を示す。また $R_c = 24\text{c/min}$ で一定としたときの温度による影響を Fig 4 に示す。このスラグの平衡分配比 $(\text{Cr})/[\text{Cr}]$ は平衡実験から約 0.003 であるが、本実験では 0.01 に留まっている。しかし (Cr) は最低 90ppm まで下がり十分実用の可能性がある。また Fig 4 の結果からこの還元反応の見かけの活性化エネルギーを求めると約 20Kcal となり、その律速過程は (Cr) のスラグメタル界面への物質移動と考えられる。Fig 4 には、合金中 $\text{Cr}/(\text{Cr}+\text{Fe}) = 0.2$ の場合を併示したが、脱クロム速度に影響はない。Cr回収率も 90% 以上であった。

①前田、佐野、松下、鉄と鋼 62.11.'76-S520

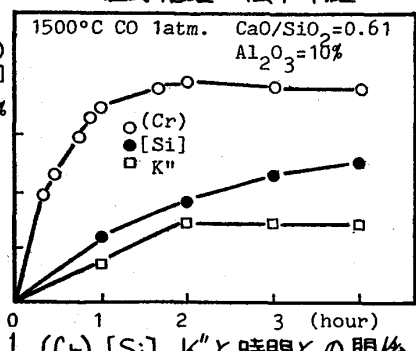


図 1 (Cr), [Si], K'' と時間との関係

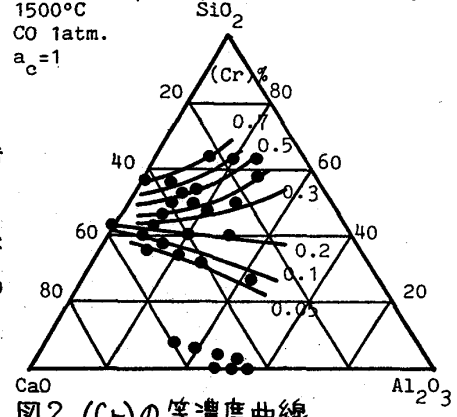


図 2 (Cr) の等濃度曲線

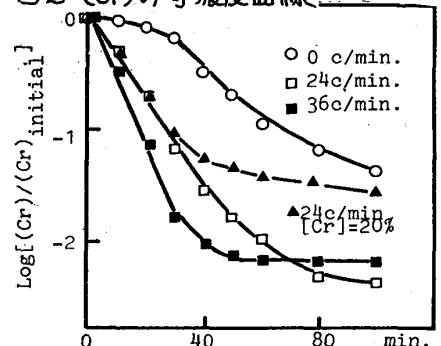


図 3 クロム還元率の一次反応プロット

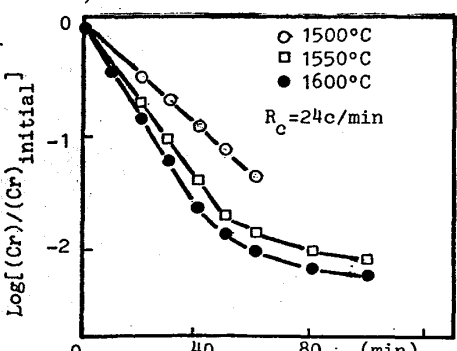


図 4 クロム還元率の一次反応プロット